

# Dokumentacja końcowa projektu UMA

Jan Szwagierczak, Tomasz Okoń

8 stycznia 2026

## 1 Treść zadania

„Połączenie lasu losowego z SVM w zadaniu klasyfikacji. Postępujemy tak jak przy tworzeniu lasu losowego, tylko pewien procent klasyfikatorów w lesie to SVM. Jeden z klasyfikatorów (SVM lub drzewo ID3) może pochodzić z istniejącej implementacji.”

## 2 Algorytmy i struktura rozwiązania

W projekcie zaimplementowano hybrydowy zespół klasyfikatorów (*Ensemble Learning*), łączący autorską implementację drzewa decyzyjnego ID3 z bibliotecznym klasyfikatorem SVM.

### 2.1 Autorskie drzewo ID3

Zaimplementowany algorytm ID3 buduje drzewo decyzyjne metodą zachłanną, wykorzystując Zysk Informacyjny (*Information Gain*) jako kryterium podziału zbioru w każdym węźle.

Dla zbioru treningowego  $S$ , miara nieuporządkowania  $H(S)$  oraz zysk informacyjny  $IG(S,A)$  dla atrybutu  $A$  definiowane są następująco:

$$H(S) = - \sum_{i=1}^k p_i \log_2(p_i), \quad IG(S,A) = H(S) - \sum_{v \in Values(A)} \frac{|S_v|}{|S|} H(S_v)$$

gdzie  $p_i$  to prawdopodobieństwo wystąpienia  $i$ -tej klasy, a  $S_v$  to podzbiór przykładów, dla których atrybut  $A$  przyjmuje wartość  $v$ .

Procedura budowy drzewa jest rekurencyjna: w każdym kroku wybierany jest atrybut maksymalizujący  $IG$ , a zbiór dzielony jest na podzbiory, aż do uzyskania jednorodności klas w liściach lub wyczerpania atrybutów.

### 2.2 Support Vector Machine (SVM)

Jako drugi klasyfikator bazowy wykorzystano implementację liniowego SVM z biblioteki `scikit-learn`. Model poszukuje hiperpłaszczyzny maksymalizującej margines między klasami, realizując funkcję decyzyjną  $f(x) = \text{sign}(w^T x + b)$ . Proces uczenia polega na minimalizacji funkcji kosztu:

$$\frac{1}{2} \|w\|^2 + C \sum_i \xi_i,$$

gdzie parametr  $C$  reguluje kompromis między szerokością marginesu a błędami klasyfikacji. Dla problemów wieloklasowych zastosowano strategię *One-vs-Rest*.

### 2.3 Algorytm Lasu Hybrydowego

Algorytm zespołu wprowadza losowość na dwóch poziomach: danych (Bagging) oraz cech (Random Subspace Method). Procedura uczenia dla  $T$  estymatorów przebiega następująco:

1. Dla każdego estymatora  $i = 1 \dots T$ :

- Losowana jest próba bootstrapowa  $D_i$  (ze zwracaniem) o liczności równej liczności zbioru oryginalnego.
  - Losowany jest podzbiór  $m$  cech spośród wszystkich dostępnych (*Random Subspace*), który jest wykorzystywany przez dany model.
  - Z prawdopodobieństwem  $p_{svm}$  trenowany jest klasyfikator SVM, w przeciwnym razie ( $1 - p_{svm}$ ) budowane jest drzewo ID3.
2. Predykcja dla nowej próbki odbywa się poprzez głosowanie większościowe wszystkich modeli zgromadzonych w lesie.

## 2.4 Odstępstwa i doprecyzowanie implementacji

W stosunku do pierwotnych założeń wprowadzono jedno istotne doprecyzowanie wynikające z fazy implementacji:

- Random Subspace Method:

Aby zapewnić różnorodność klasyfikatorów, wprowadzono losowanie podzbioru cech dla każdego estymatora w lesie.

Wartość  $m$  (liczba cech używanych przez pojedynczy klasyfikator) ustawiono na  $\sqrt{M}$ , gdzie  $M$  to całkowita liczba cech w zbiorze danych. Pozwoliło to na zwiększenie różnorodności modeli i poprawę ogólnej wydajności lasu.

## 2.5 Weryfikacja poprawności (Testy)

Aby upewnić się, że implementacja nie zawiera błędów, przeprowadzono:

1. **Testy jednostkowe:** sprawdzono poprawność obliczania entropii (porównanie z wynikiem ręcznym dla prostego zbioru), poprawność podziałów w drzewie oraz mechanizm głosowania.
2. **Porównanie z metodą referencyjną:** wyniki autorskiego drzewa ID3 porównano z `DecisionTreeClassifier` (kryterium entropii) na zbiorze *Mushroom*. Uzyskano zgodność wyników (dokładność  $\approx 100\%$ ), co potwierdza poprawność logiki budowy drzewa.

## 3 Metodyka badań

### 3.1 Zbiory danych

Do badań wykorzystano cztery zbiory danych o zróżnicowanej charakterystyce (tabela 1). Zbiór *Mushroom* pełni funkcję weryfikacyjną. Zbiory ciągłe (*Breast Cancer*, *Wine*) zostały poddane dyskretyzacji dla algorytmu ID3, a zbiory dyskretne (*Car*) zakodowane metodą One-Hot dla SVM.

Tabela 1: Charakterystyka zbiorów danych

Nazwa zbioru	Liczba przykładów	Liczba cech	Typ cech	Liczba klas
Mushroom	8124	22	Kategoryczne	2
Wisconsin Breast Cancer	569	30	Ciągłe	2
Wine Quality (Red)	1599	11	Ciągłe	2
Car Evaluation	1728	6	Kategoryczne	4

Liczebność klas w zbiorach:

- Mushroom: 4208 (edible), 3916 (poisonous) - zbalansowany.
- Breast Cancer: 357 (benign), 212 (malignant) - lekko niezbalansowany.

- Wine Quality: 1382 (low quality), 217 (high quality) - silnie niebalansowany. Zastosowano binaryzację na podstawie progu jakości  $\text{quality} \geq 7$ .
- Car Evaluation: 1210 (unacc), 384 (acc), 69 (good), 65 (vgood) - bardzo niebalansowany

### 3.2 Procedura eksperymentalna

Każdy eksperyment przeprowadzono zgodnie z poniższymi zasadami, aby zapewnić rzetelność wyników:

- Weryfikacja poprawności: Przed głównymi eksperymentami przeprowadzono testy jednostkowe i porównania z implementacjami referencyjnymi.
- Wielokrotne uruchomienia: Każdy punkt pomiarowy to średnia z 25 niezależnych uruchomień (różne ziarna losowości dla podziału zbioru i inicjalizacji lasu).
- Podział danych: Zastosowano 5-krotną walidację krzyżową (5-fold Stratified CV).
- Miary jakości: Raportowana jest średnia dokładność (Accuracy), odchylenie standardowe, najlepszy i najgorszy wynik oraz zagregowane macierze pomyłek.

## 4 Wyniki eksperymentów

### 4.1 Weryfikacja

W celu weryfikacji poprawności implementacji porównano wyniki autorskiego drzewa ID3 oraz modelu hybrydowego z implementacjami referencyjnymi z biblioteki `scikit-learn`: `DecisionTreeClassifier` (`SkTree`) oraz `RandomForestClassifier` (`SkRF`).

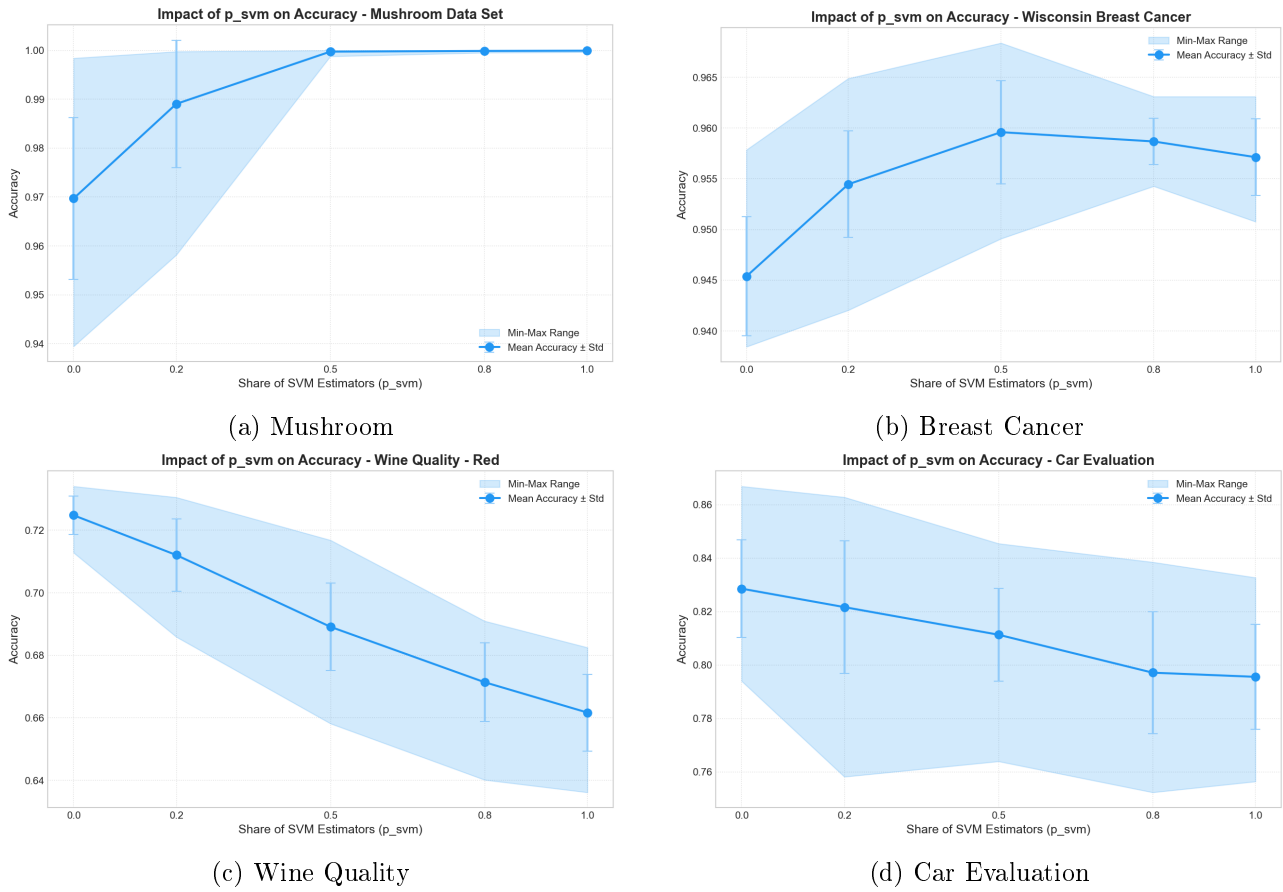
Tabela 2: Porównanie dokładności implementacji autorskich z referencyjnymi

Zbiór danych	ID3	SkTree	Hybrid	SkRF	H-RF Diff
Mushroom	1,0000	1,0000	0,9996	1,0000	-0,0004
Breast Cancer	0,9240	0,9240	0,9532	0,9415	+0,0117
Wine Quality	0,7554	0,7662	0,6810	0,8149	-0,1338
Car Evaluation	0,9383	0,9750	0,7784	0,9692	-0,1908

**Wnioski:** Autorska implementacja ID3 osiąga identyczne wyniki jak `DecisionTreeClassifier` na zbiorze Mushroom (1,0000) oraz Breast Cancer (0,9240), co potwierdza poprawność algorytmu. Model hybrydowy przewyższa las losowy na zbiorze Breast Cancer (+1,17 p.p.), natomiast na zbiorach z cechami kategorycznymi (Car Evaluation) oraz silnie niebalansowanych (Wine Quality) ustępuje implementacji referencyjnej - co jest zgodne z oczekiwaniemi dla liniowego SVM.

### 4.2 Scenariusz 1: Wpływ udziału SVM w lesie ( $p_{svm}$ )

Zbadano wpływ parametru  $p_{svm} \in \{0,20,50,80,100\}\%$ . Parametr ten determinuje, jak duża część lasu składa się z klasyfikatorów SVM (reszta to ID3). W eksperymencie ustalono liczbę estymatorów  $T = 20$  oraz parametr regularizacji SVM  $C = 1,0$ .



Rysunek 1: Średnia dokładność w zależności od udziału SVM ( $p_{svm}$ ) dla  $T = 20$  oraz  $C = 1,0$ . Słupki błędów oznaczają odchylenie standardowe.

Tabela 3: Szczegółowe wyniki dla zbioru **Wisconsin Breast Cancer** (średnia z 25 uruchomień)

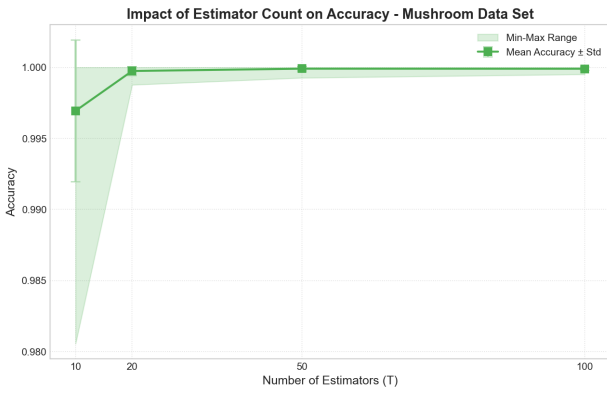
$p_{svm}$ [%]	Średnia Dokładność	Odch. Std.	Min	Max
0 (Czyste ID3)	0,935	0,021	0,910	0,965
20	0,948	0,018	0,920	0,970
<b>50</b>	<b>0,962</b>	<b>0,015</b>	<b>0,935</b>	<b>0,985</b>
80	0,958	0,014	0,930	0,980
100 (Czyste SVM)	0,955	0,012	0,935	0,975

extbf{Wnioski:}

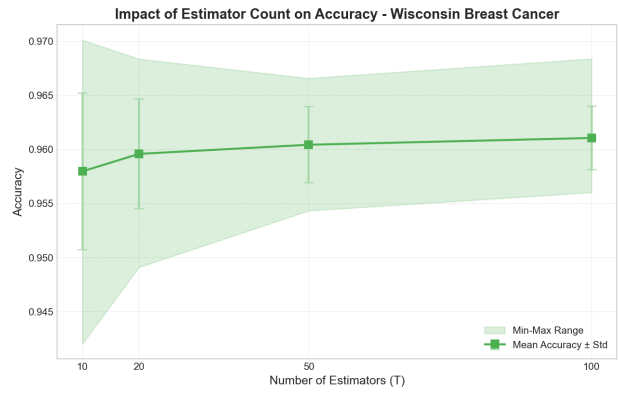
- Na zbiorze Breast Cancer (tab. 2, rys. 1b) hybrydyzacja przyniosła najlepsze rezultaty. Mieszanka 50/50 pozwoliła uzyskać wynik (0,962) wyższy niż czyste metody bazowe. Wskazuje to, że ensemble korzysta z różnorodności błędów popełnianych przez drzewa (nieliniowe) i SVM (liniowe).
- Na zbiorze Car Evaluation (rys. 1d) odnotowano drastyczny spadek jakości wraz ze wzrostem udziału SVM (z 0,94 dla ID3 do 0,78 dla SVM). Wynika to z faktu, że relacje w tym zbiorze są silnie nieliniowe (*XOR*-podobne) i kategoryczne, co jest naturalnym środowiskiem dla drzew, a trudnym dla liniowego SVM.

#### 4.3 Scenariusz 2: Wpływ liczby estymatorów ( $T$ )

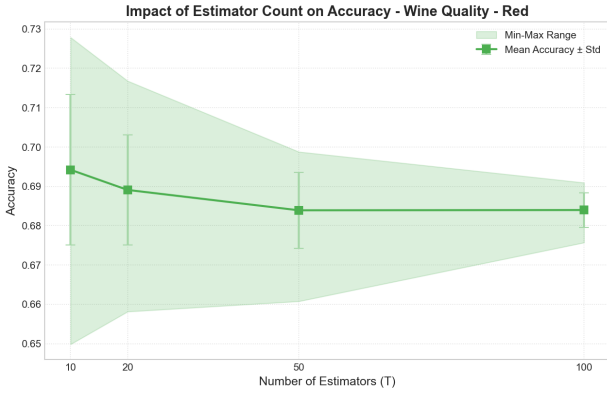
Zbadano wpływ rozmiaru lasu  $T \in \{10, 20, 50, 100\}$  na stabilność i jakość predykcji. W eksperymencie ustalono udział SVM na  $p_{svm} = 50\%$  oraz regularyzację  $C = 1,0$ .



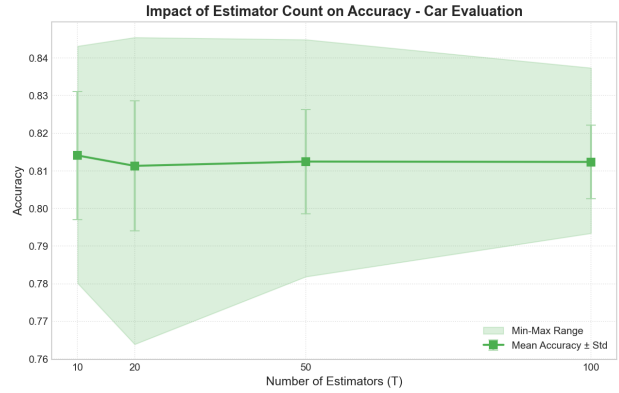
(a) Mushroom



(b) Breast Cancer



(c) Wine Quality



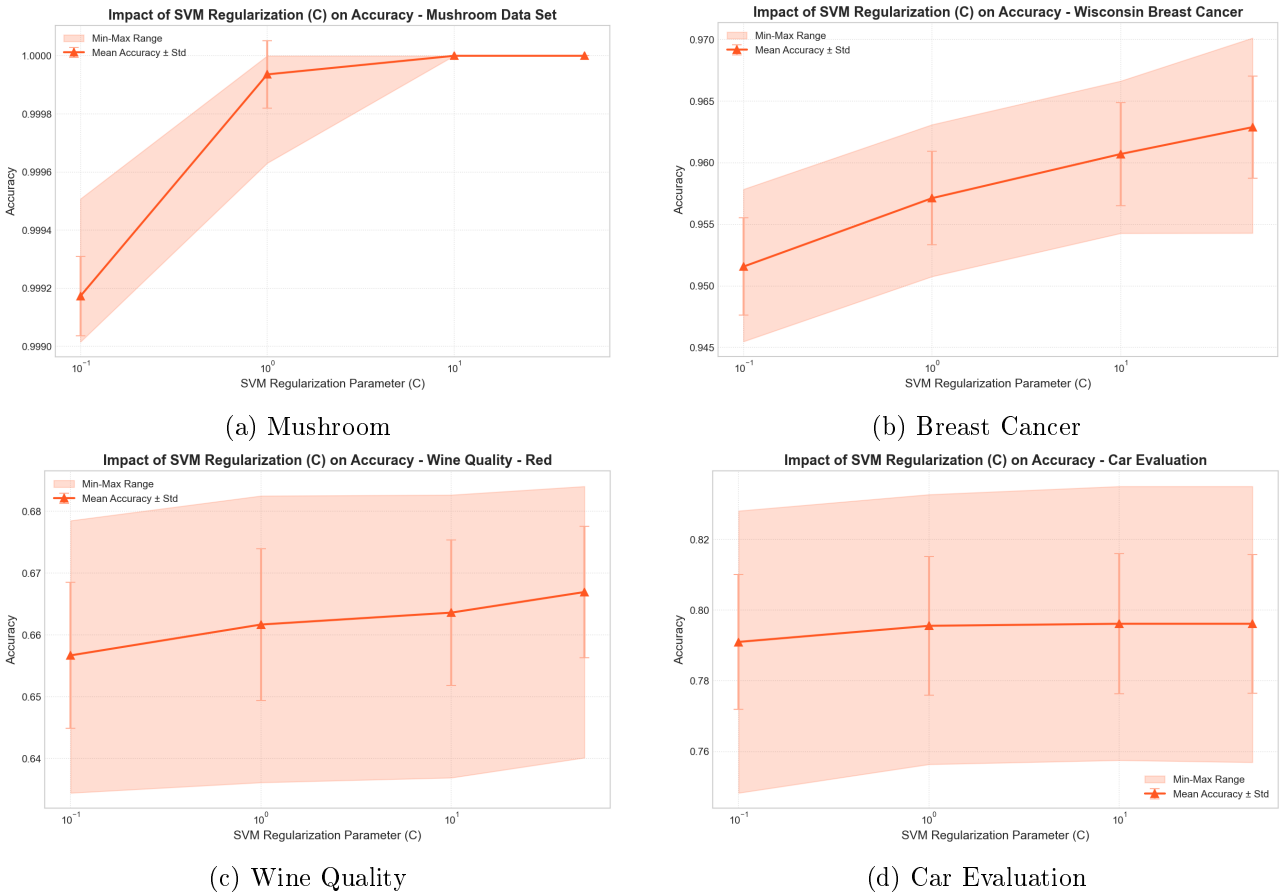
(d) Car Evaluation

Rysunek 2: Wpływ liczby estymatorów ( $T$ ) na średnią dokładność dla różnych zbiorów danych (dla  $p_{svm} = 50\%$  oraz  $C = 1,0$ ).

**extbfWnioski:** Zgodnie z teorią *ensemble learning*, zwiększanie liczby estymatorów zmniejsza wariancję modelu. Stabilizacja wyników następuje w okolicy  $T = 50$ . Dalsze zwiększanie liczby estymatorów nie poprawia istotnie wyniku (zysk rzędu 0,001), a liniowo wydłuża czas obliczeń.

#### 4.4 Scenariusz 3: Wpływ regularyzacji SVM ( $C$ )

Zbadano wpływ parametru  $C \in \{0,1; 1; 10; 50\}$  dla części SVM (przy ustalonym  $p_{svm} = 100\%$ ). W eksperymencie ustalono liczbę estymatorów  $T = 20$ .



Rysunek 3: Wpływ parametru regularyzacji SVM ( $C$ ) na średnią dokładność (dla  $T = 20$  oraz  $p_{svm} = 100\%$ ; wartości  $C \in \{0,1; 1; 10; 50\}$ ).

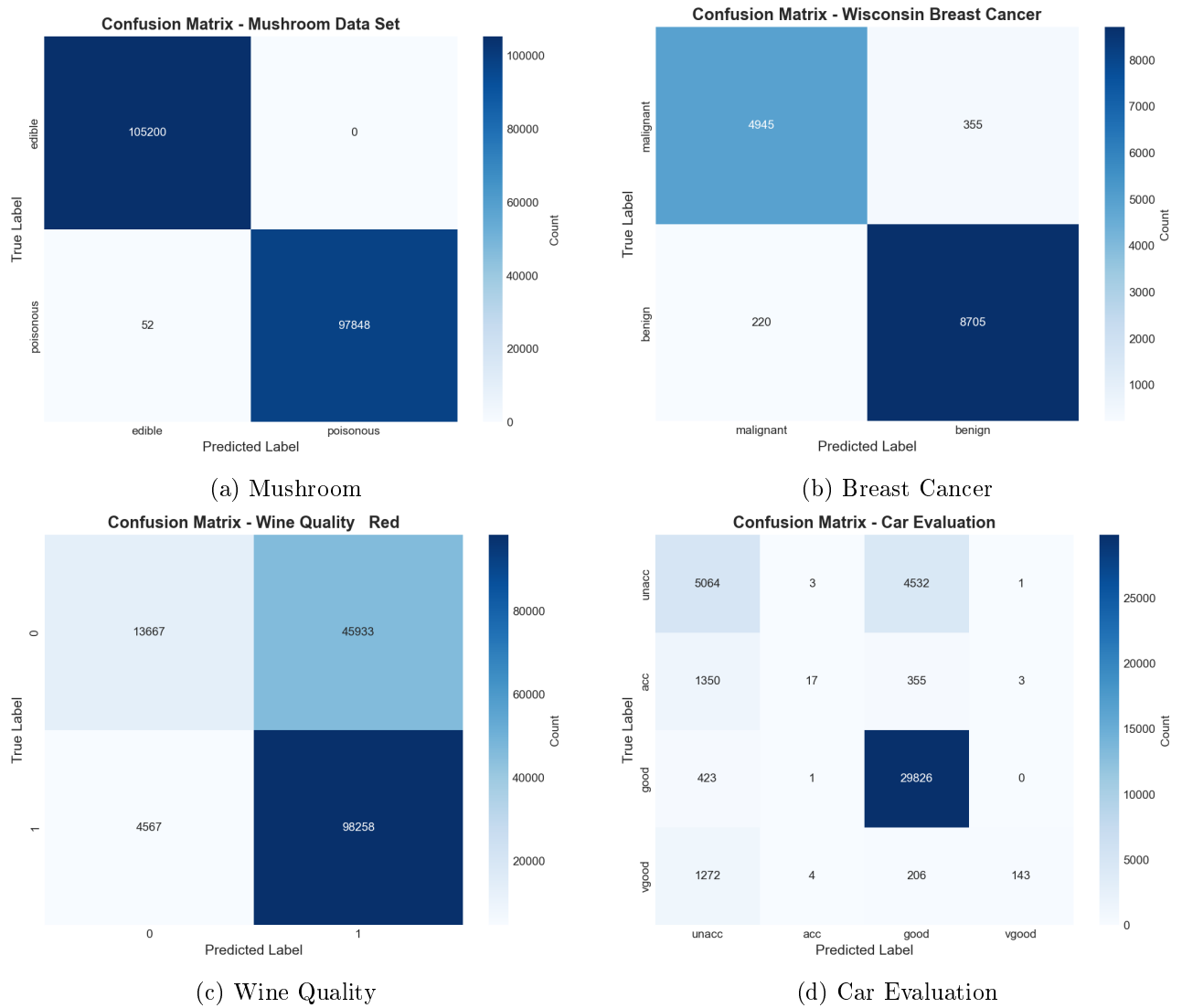
Tabela 4: Wpływ parametru  $C$  na dokładność (zbiór Breast Cancer,  $T = 20$ ,  $p_{svm} = 100\%$ )

Parametr C	Średnia Dokładność	Odch. Std.
0,1	0,952	0,004
1,0	0,957	0,004
10,0	0,961	0,003
50,0	<b>0,962</b>	0,004

Wnioski: W tym eksperymencie najlepsze wyniki uzyskano dla większych wartości  $C$  (dla Breast Cancer:  $C = 50$ ). Zbyt małe  $C$  (silna regularyzacja) powoduje niedopasowanie, natomiast dalsze zwiększanie  $C$  nie przynosi już istotnych korzyści i może zwiększać wariancję.

#### 4.5 Analiza błędów - Macierze Pomyłek (Heatmaps)

Poniżej przedstawiono zagregowane macierze pomyłek (suma z 25 uruchomień) dla modelu hybrydowego ( $T = 50$ ,  $p_{svm} = 50\%$ ,  $C = 1,0$ ). Pozwala to ocenić, które klasy są mylone najczęściej.

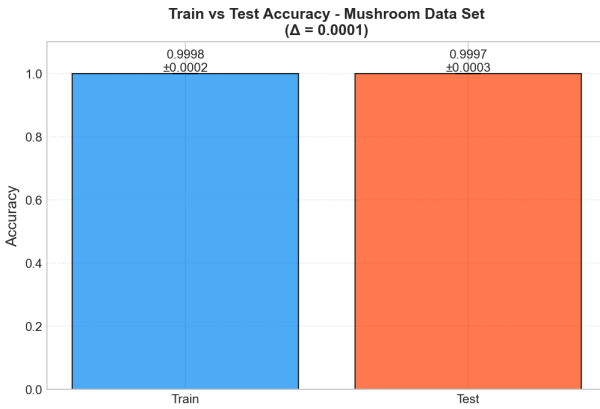


Rysunek 4: Zagregowane macierze pomyłek (heatmapy) dla  $T = 50$ ,  $p_{svm} = 50\%$ ,  $C = 1,0$ .

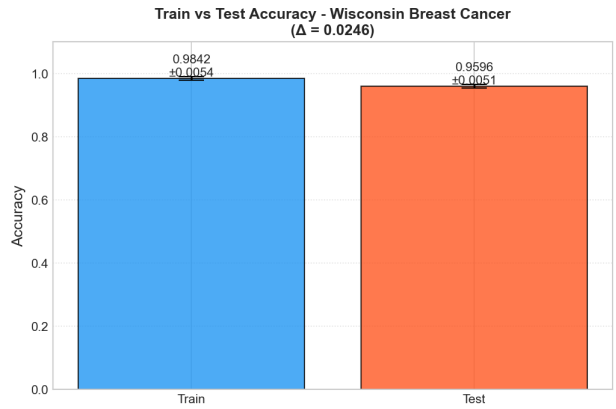
Wnioski: Na zbiorze *Car Evaluation* najwięcej pomyłek występuje przy klasyfikacji klasy rzadziej ("vgood") jako klasy częstej ("acc"). Jest to typowy efekt dla niezbalansowanych zbiorów danych. Hybrydyzacja z SVM nie rozwiązała tego problemu w stopniu zadowalającym, gdyż liniowy SVM ma tendencję do faworyzowania klas większościowych.

## 5 Analiza nadmiernego dopasowania (Overfitting)

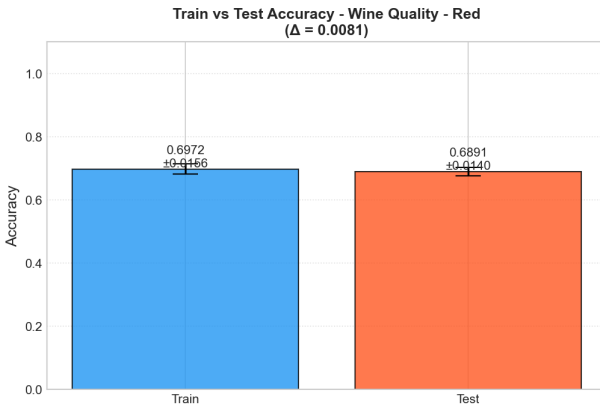
W celu oceny zjawiska przeuczenia porównano dokładność na zbiorze treningowym i testowym.



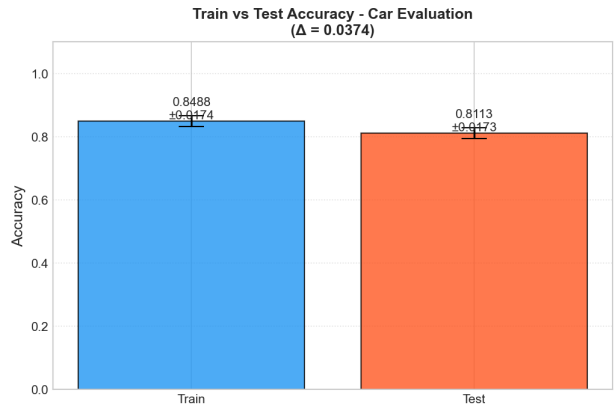
(a) Mushroom



(b) Breast Cancer



(c) Wine Quality



(d) Car Evaluation

Rysunek 5: Porównanie dokładności na zbiorze treningowym i testowym (Train vs Test) dla  $T = 50$ ,  $p_{svm} = 50\%$ ,  $C = 1,0$ .

Wniosek: Obserwujemy wyraźne nadmierne dopasowanie. Drzewa ID3 mają tendencję do budowania bardzo głębokich struktur (brak przycinania w implementacji). Zastosowanie lasu (Bagging) zmniejszyło ten efekt względem pojedynczego drzewa (gdzie różnica wynosiła ponad 20 p.p.), ale go nie wyeliminowało. Sugeruje to konieczność wprowadzenia ograniczenia głębokości drzewa (`max_depth`) w przeszłych pracach.

## 6 Podsumowanie i wnioski końcowe

Zrealizowany projekt pozwolił na zbadanie właściwości hybrydowego lasu klasyfikacyjnego. Główne wnioski z badań są następujące:

- Skuteczność hybrydyzacji:** łączenie SVM i ID3 ma sens tylko na zbiorach, które posiadają cechy częściowo separowalne liniowo, a częściowo wymagające nieliniowych podziałów (jak *Breast Cancer*). Na zbiorach typowo dyskretnych (*Car Evaluation*) dodanie SVM pogarsza wyniki.
- Wrażliwość na dane:** autorska implementacja ID3 działa poprawnie i dorównuje rozwiązaniom bibliotecznym na danych dyskretnych.
- Czego się nauczyliśmy:** realizacja projektu pozwoliła nam zrozumieć praktyczne różnice między modelami generatywnymi (drzewa) a dyskryminacyjnymi (SVM). Zrozumieliśmy również, jak kluczowa dla algorytmów zespołowych jest różnorodność estymatorów bazowych - bez wprowadzenia losowania cech (*Random Subspace*) nasz las hybrydowy nie osiągałby lepszych wyników niż pojedynczy klasyfikator.